

**Отчет по лабораторной работе МодМ – 05**

**РАБОТА И ЭНЕРГИЯ**

Студент(ка) \_\_\_\_\_ гр. \_\_\_\_\_  
Фамилия И.О.

ДОПУСК	ДАННЫЕ	РЕЗУЛЬТАТЫ
дата, подпись преподавателя	дата, подпись преподавателя	дата, подпись преподавателя

**Цель работы:** изучение работы неконсервативных сил на примере силы трения скольжения при прямолинейном движении и движении по окружности. Изучение зависимости работы силы трения от массы движущегося тела, формы и длины пройденного им пути. Определение коэффициента трения.

**Краткое теоретическое содержание работы**

Энергия – это скалярная физическая величина \_\_\_\_\_

Работа силы  $\vec{F}$  на участке траектории между точками 1 и 2 \_\_\_\_\_

Работа силы тяжести: \_\_\_\_\_

Работа силы трения: \_\_\_\_\_

Работа силы трения скольжения при движении по горизонтальной плоскости: \_\_\_\_\_

Потенциальная энергия поля силы тяжести \_\_\_\_\_

Потенциальная энергия поля силы упругости \_\_\_\_\_

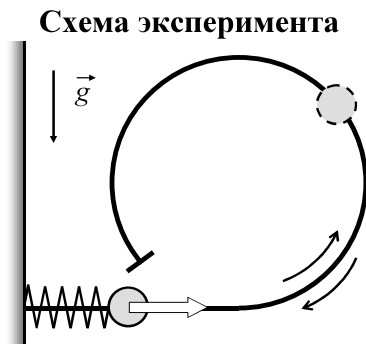
Кинетическая энергия \_\_\_\_\_

Полная механическая энергия \_\_\_\_\_

Закон сохранения энергии для системы, на которую действуют как консервативные, так и неконсервативные силы: \_\_\_\_\_  
\_\_\_\_\_

### Рабочие формулы:

Рассмотрим случай, когда тело поднялось по круговому участку направляющей на некоторую высоту (меньше наивысшей точки направляющей) и скатывается вниз по той же стороне кругового участка направляющей, по которой оно поднималось. В этом случае траектория тела имеет точку максимального подъема, в которой тело останавливается.



Потенциальная энергия в начальный момент времени:

$$U_1 =$$

где  $k =$  \_\_\_\_\_  $\Delta x =$  \_\_\_\_\_

Потенциальная энергия в точке максимального подъема:

$$U_2 =$$

где  $m =$  \_\_\_\_\_  $h =$  \_\_\_\_\_

Модуль работы силы трения (из закона сохранения энергии):

$$|A| =$$

Работа силы трения на прямолинейном участке траектории:

$$A_{np} =$$

где  $\mu =$  \_\_\_\_\_  $L =$  \_\_\_\_\_

График зависимости модуля работы силы трения скольжения на круговом участке траектории от длины пути  $L_\phi$



**Выводы:** \_\_\_\_\_

- \_\_\_\_\_
- \_\_\_\_\_
- \_\_\_\_\_
- \_\_\_\_\_
- \_\_\_\_\_

No	$t_i, \text{с}$	$h_i, \text{см}$	$*\Phi_i$	$\Delta\Phi_i$	$\Phi_{cp}$	$\omega_i$	$R\omega_i^2$	$g \cos(\Phi_{cp})$	$(R_{on}/m)_{cp}$	$ R_{on}/m _{cp}\Delta\Phi_i$	$ A_{kp}(\Phi_i) $	$L\Phi_i$
15		45										
14		42										
13		39										
12		36										
11		33										
10		30										
9		27										
8		24										
7		21										
6		18										
5		15										
4		12										
3		9										
2		6										
1		3										
0		0	0,0000								0	0

Интеграл  $I(\Phi_{max}) \approx \sum_{k=1}^{max} |R_{on}/m|_{cp_k} \Delta\Phi_k =$  \_\_\_\_\_

$*\Phi_i = \frac{\pi}{2} + \arcsin\left(\frac{h_i - R}{R}\right)$

$**|A_{kp}(\Phi_i)| \approx \mu m R \sum_{k=1}^i |R_{on}/m|_{cp_k} \Delta\Phi_k$  – сумма по всем значениям, соответствующим углам от нулевого до  $\Phi_i$

МодМ-05

Работа силы трения на круговом участке траектории (из закона сохранения энергии):

$$A_{kp} =$$

Расчет работы силы трения на круговом участке траектории:

$$A_{kp} =$$

где сила реакции опоры  $R_{on} =$

$$\Phi = \text{_____}, \omega = \text{_____}$$

Приближенное вычисление интеграла:

$$I(\Phi_{max}) \equiv \int_0^{\Phi_{max}} |R_{on}/m| d\varphi \approx \sum_{i=1}^{max} |R_{on}/m|_{cp_i} \cdot \Delta\varphi_i,$$

$$\text{где } |R_{on}/m|_{cp_i} = \left| R\omega_{cp_i}^2 + g \cos \varphi_{cp_i} \right|, \varphi_{cp_i} = \frac{1}{2}(\varphi_i + \varphi_{i-1}), \omega_{cp_i} \approx \frac{\Delta\varphi_i}{\Delta t_i},$$

$$\Delta\varphi_i = \text{_____}, \Delta t_i = \text{_____}.$$

Рабочие формулы для расчета коэффициента трения:

$$\mu =$$

где \_\_\_\_\_

### Эксперимент

В данной работе с помощью средств компьютерной графики моделируется движения тела сферической формы по плоской стальной направляющей, которая закреплена в вертикальной плоскости и состоит из двух участков: горизонтального прямолинейного и кругового. Кроме силы тяжести и (на начальном этапе) силы упругости на тело действует сила трения скольжения.

### Начальные данные

Вариант № \_\_\_\_\_

Тело:	материал	
Стальная направляющая:	длина прямолинейного участка $S$ , см	
	длина несжатой пружины $X_0$ , см	

Ускорение свободного падения  $g = 9,81 \text{ м/с}^2$

Масса тела $m$ , кг	Радиус направляющей $R$ , см	Коэффициент жесткости пружины $k$ , Н/см	Сжатие пружины $\Delta x$ , см
_____	_____	_____	_____

$L\phi_i = R\phi_i$ , cm															
Jlnha tnytn															
**Mlojjib pagotri															
H.cm															
cnjbi tpehna $ A_{cp}(\phi_i) $ ,															
$ R_{on}/m ^{cp} \cdot \nabla\phi_i$															
China pearkun otopri, jetehehaa $R_{on}$															
+ $g \cos(\phi_{cp})$ , M/c <sup>2</sup>															
macyi tpehna, $(R_{on}/m)_{cp} = R_{on}$															
$g \cos(\phi_{cp})$ , 1/c <sup>2</sup>															
$R_{\omega_i^2}$ , 1/c <sup>2</sup>															
$\Delta\phi_i/(t_i - t_{i-1})$ , rad/c															
Ytrobaak ckoopctr $\omega_i$ =															
$\phi_{cp} = (\phi_i + \phi_{i-1})/2$															
$\Delta\phi_i = \phi_i - \phi_{i-1}$															
Bpicota $h_i$ , cm															
* Ilorjphbil yroi $\phi_i$ (b pajnahax)															
Bpmra $t_i$ , c															
No	25	24	23	22	21	20	19	18	17	16	15	14	13	12	11
	96	92	88	84	80	76	72	68	64	60	56	52	48	44	

МодМ-05

Масса тела $m$ , кг	Радиус направляющей $R$ , см	Сжатие пружины $\Delta x$ , см	Коэффициент жесткости пружины $k$ , Н/см	$L\phi_i = R\phi_i$ , см	Линия нити		
				$H \cdot \text{см}$	$A_{dp}(\phi_i)$ ,	** Модель работы пружин	
						Сущность технологии	
				$ R_{on/m}  \Delta \phi_i$			
				$+ g \cos(\phi_{dp})$ , $M/C^2$			
				Число параллельных отверстий, $(R_{on}/m)_{dp} = R_{on}^2$			
				$g \cos(\phi_{dp})$ , $1/C^2$			
				$R \omega_i^2$ , $1/C^2$			
				$\Delta \phi_i/(t_i - t_{i-1})$ , рад/с	Угловая скорость $\omega_i$		
				$\phi_{dp} = (\phi_i + \phi_{i-1})/2$			
				$\nabla \phi_i = \phi_i - \phi_{i-1}$			
				( $b$ параметр)	* Изображение траектории		
				Бисектриса $h_i$ , см			
				$t_i$ , с	Время $t_i$		
				$N$			
16	48	17	51	17	54	18	57
19	57	20	60	21	63	22	66
23	69	23	69	24	72	24	72

№	$t_i, \text{с}$	$h_i, \text{см}$	${}^*\Phi_i$	$\Delta\Phi_i$	$\Phi_{cp}$	$\omega_i$	$R \omega_i^2$	$g \cos(\Phi_{cp}) (R_{on}/m)_{cp}$	$ R_{ow}/m _{cp} \Delta\Phi_i$	$ A_{kp}(\Phi_i) $	$L\Phi_i$
15	60										
14	56										
13	52										
12	48										
11	44										
10	40										
9	36										
8	32										
7	28										
6	24										
5	20										
4	16										
3	12										
2	8										
1	4										
0	0	0,0000								0	0

Интеграл  $I(\Phi_{\max}) \approx \sum_{k=1}^{\max} |R_{on}/m|_{cp_k} \Delta\Phi_k = \boxed{\phantom{000}}$

$${}^*\Phi_i = \frac{\pi}{2} + \arcsin\left(\frac{h_i - R}{R}\right)$$

${}^*|A_{kp}(\Phi_i)| \approx \mu m R \sum_{k=1}^i |R_{on}/m|_{cp_k} \Delta\Phi_k$  – сумма по всем значениям, соответствующим углам от нулевого до  $\Phi_i$

8

МодM-05

№	$t_i, \text{с}$	$h_i, \text{см}$	${}^*\Phi_i$	$\Delta\Phi_i$	$\Phi_{cp}$	$\omega_i$	$R \omega_i^2$	$g \cos(\Phi_{cp}) (R_{on}/m)_{cp}$	$ R_{ow}/m _{cp} \Delta\Phi_i$	$ A_{kp}(\Phi_i) $	$L\Phi_i$
10		40									
9		36									
8		32									
7		28									
6		24									
5		20									
4		16									
3		12									
2		8									
1		4									
0		0	0,0000							0	0

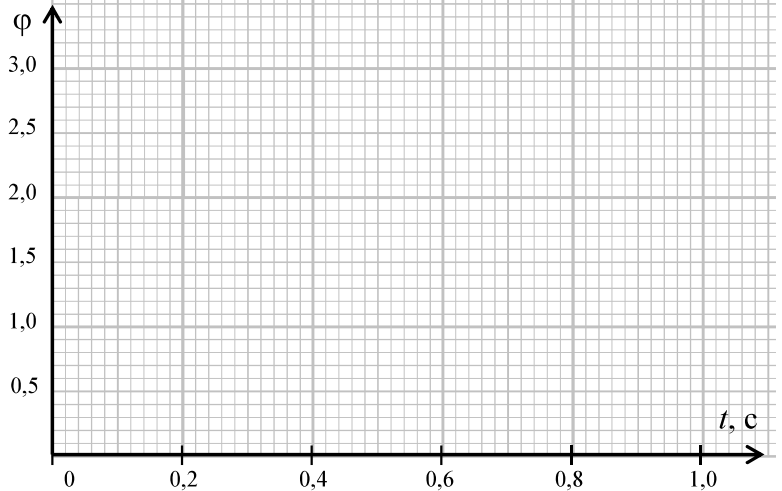
Интеграл  $I(\Phi_{\max}) \approx \sum_{k=1}^{\max} |R_{on}/m|_{cp_k} \Delta\Phi_k = \boxed{\phantom{000}}$

$${}^*\Phi_i = \frac{\pi}{2} + \arcsin\left(\frac{h_i - R}{R}\right)$$

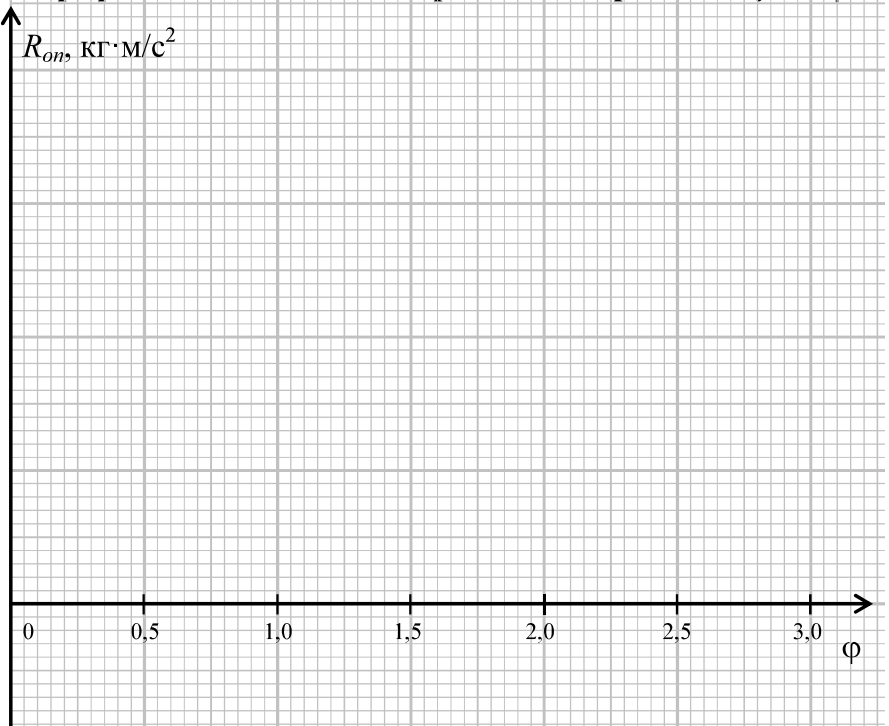
${}^*|A_{kp}(\Phi_i)| \approx \mu m R \sum_{k=1}^i |R_{on}/m|_{cp_k} \Delta\Phi_k$  – сумма по всем значениям, соответствующим углам от нулевого до  $\Phi_i$

Высота максимального подъема $h_{\max}, \text{см}$	Начальная энергия $U_1 = k\Delta x^2/2, \text{Н}\cdot\text{см}$	Энергия в точке максимального подъема $U_2 = mgh, \text{Н}\cdot\text{см}$	Модуль работы силы трения $ A  = U_1 - U_2, \text{Н}\cdot\text{см}$	Расчет для работы на линейном участке $mgl, \text{Н}\cdot\text{см}$	Расчет для работы на круговом участке $(L = S - X_0 + \Delta x) mRl, \text{Н}\cdot\text{см}$	Коэффициент трения $\mu$

**График зависимости угла  $\phi$  подъема тела от времени**



**График зависимости силы реакции опоры  $R_{on}$  от угла  $\phi$**



$L\phi_i = R\phi_i, \text{см}$																								
$J_{\text{жизн}} \text{ и } \tau_{\text{жизн}}$																								
$* * M o j y i h p a g o b r i$																								
$ R_{on}/m ^{cd} \Delta\phi_i$																								
$+ g \cos(\phi^{cd}), \text{М/с}^2$																								
$C n a p e k a n n o n o p p i, n e i c h e n n a h a$																								
$m a c c y t e m a, R_{on}/m^{cd} = R_{0i}^2$																								
$\Delta\phi_i(t_i - t_{i-1}), \text{рад/с}$																								
$\dot{Y} t r i b a n c k o p o c t b \omega_i =$																								
$\phi^{cd} = \phi^i + \phi^{i-1}/2$																								
$R_{0i}^2, \text{1/с}^2$																								
$\Delta\phi^i = \phi^i - \phi^{i-1}$																								
$(b) p a j n a h a x)$																								
$* T o l o p h i n y r o i \phi^i$																								
$B p c o t a h_i, \text{см}$																								
$B p e m a t_i, \text{с}$																								
$\mathcal{N}$																								
25																								
24																								
23																								
22																								
21																								
20																								
19																								
18																								
17																								
16																								